

کانی‌شناسی و زمین‌شیمی ذخیره کائولن رحمت‌آباد، گردنه ملا احمد نایین، استان اصفهان

محمدعلی مکی‌زاده^۱، خدیجه مری^۱، مهین منصوری اصفهانی^۲، شیرین فتاحی^{۳*}

۱- گروه زمین‌شناسی، دانشکده علوم، دانشگاه اصفهان، اصفهان

۲- دانشکده مهندسی معدن، دانشگاه صنعتی اصفهان، اصفهان

۳- گروه زمین‌شناسی، دانشکده علوم طبیعی، دانشگاه تبریز، تبریز

(دریافت مقاله: ۹۵/۱۰/۳۰، نسخه نهایی: ۹۶/۲/۹)

چکیده: ذخیره کائولن رحمت‌آباد در فاصله ۲۵ کیلومتری جنوب غربی نایین واقع است. این ذخیره فرآورده دگرسانی سنگ‌های آتشفشنایی و واحدهای آذرآواری به سن ائوسن است. بررسی‌های کانی‌شناسی نشان می‌دهند که کائولینیت، ژاروسبیت، هماتیت، کوارتز، کلسیت، آنورتیت، آلونیت، دیاسپور، کلریت، مونتموریلوبنیت، ایلیت، اورتوکلاز، هالیت، سانیدین، گوتیت، مالاکیت، آزوریت و رسیت از کانی‌های سنگ‌ساز این ذخیره هستند. بر اساس نتایج گرماسنجی روی کلریت‌های حاصل از دگرسانی، دمای سیالات مسؤول دگرسانی از ۹۸/۲۵ درجه سانتی‌گراد بوده است. بر پایه بررسی‌های زمین‌شیمیابی، فرایند تبدیل سنگ‌های آتشفشنایی و آذرآواری به کائولن با غنی‌شدگی Na , Ti , Ca , Si , Al , Th , Y , Zr , Hf , Nb , Sr , Ba , Cs , Rb , REEs , Ni , Cr , Mg , Mn , K , Fe و P و تهی‌شدگی La/Lu و بالا بودن مقادیر Ba و Ce نسبت به مقادیر La و Ce به ترتیب توسط درجه دگرسانی فلدسپارها و تغییر درجه اکسایش محیط کنترل شده‌اند. به نظر می‌رسد که توسعه ذخیره کائولن در رحمت‌آباد توسط همپوشی فرایند درون‌زاد توسط فرایند برون‌زاد در منطقه حاصل شده است. اختلاف در میزان شدت دگرسانی مواد منشاء، شیمی محلول‌های دگرسان کننده، جذب سطحی، ترکیب در ساختار بلوری، اختلاف در درجه کمپلکس‌شدن با لیگندهای سولفاتی، کلریدی و فلوریدی و تفاوت در میزان پایداری کانی‌های اولیه در برابر دگرسانی شش عامل مهم کنترل کننده تحرک، توزیع، و تمرکز عنصر در ذخیره کائولن منطقه رحمت‌آباد هستند.

واژه‌های کلیدی: کانی‌شناسی؛ کائولن؛ واحدهای آذرآواری؛ تحرک عناصر؛ رحمت‌آباد؛ گردنه ملا احمد نایین.

به طوری که یک گسل فرعی بزرگ از منطقه عبور می‌کند. می-
توان گفت که بیشتر دگرسانی‌های گرمابی موجود در شرق
گردنه ملا احمد، به طور کلی از این روند گسلی (شمال‌غرب -
جنوب‌شرق) پیروی کرده‌اند.

با وجود بررسی‌های تفصیلی در مورد ذخایر رسی به ویژه
کائولن‌ها در نقاط مختلف دنیا [۲۱] و به ویژه در ایران [۴,۳]،
تاكنون هیچ مطالعه جامعی بر ذخیره کائولن منطقه رحمت‌آباد
از نظر کانی‌شناسی و زمین‌شیمی عنصری صورت نگرفته است.
در این پژوهش سعی شده است که ویژگی‌های کانی‌شناسی،
شیمی کانی‌های رسی و عوامل موثر بر تحرک، توزیع و

مقدمه
در این پژوهش انواع دگرسانی‌های گرمابی موجود در بخشی از
سنگ‌های آتشفشنایی و آذرآواری منطقه کوه سیاه به سن
ائوسن پیشین بررسی شده است. تنوع در ترکیب سنگ‌شناسی
سنگ‌های درونگیر همراه با وجود گسل‌های متعدد در این
ناحیه از ایران موجب تغییرات زمین‌شیمیابی شدید در محیط
تشکیل ذخایر کائولن شده است. در منطقه مورد بررسی از
گسل‌های تأثیرگذار در زمان ائوسن می‌توان به دهشیر- بافت
اشارة نمود. همچنین از دیدگاه زمین‌ساختی، محدوده کائولن
رحمت‌آباد در شرق سامانه گسلی بزرگ قم - زفره واقع است

(SEM-EDS) در آزمایشگاه فلزنگاری دانشگاه تهران انجام شد. در این راستا، ترکیب اکسیدهای اصلی کائولن‌ها (ذرات کوچکتر از ۲۴۱ m) در یک نقطه اندازه‌گیری شد. همچنین مقدار اکسیدهای اصلی در کلریت‌های حاصل از فرآیندهای دگرسانی در پنج نقطه توسط ریزپردازشگر الکترونی (EPMA) (مدل کامکا SX-100) در مرکز تحقیقات و فرآوری مواد کرج اندازه‌گیری شد. نتایج حاصل از محاسبات دماسنجدی در جدول ۱ آورده شده است.

تعداد ۹ نمونه از سنگ‌های آتشفشاری سالم نیز برای تعیین مقدار اکسیدهای اصلی (جدول ۲)، تعداد ۱۰ نمونه از سنگ‌های دگرسان نیز برای تعیین مقدار اکسیدهای اصلی و فرعی، عناصر جزئی و خاکی نادر و تعداد ۴ نمونه دیگر از سنگ‌های دگرسان شده و یک نمونه سیلیسی تنهای برای عناصر خاکی نادر در آزمایشگاه کانسaran بینالود تجزیه شدند (جدول ۳). در این آزمایشگاه، مقدار اکسیدهای اصلی و فرعی به روش طیفسنجی فلورسانس پرتو X (XRF، مدل Explorer) و مقدار عناصر جزئی و خاکی نادر به روش طیفسنجی جرمی پلاسمای جفت شده القایی (ICP-MS) تعیین شدند.

غنى‌شدگی عناصر اصلی، فرعی، جزئی و خاکی نادر در طی تکامل و توسعه کائولن رحمت‌آباد به تفصیل بررسی شوند.

روش پژوهش

در این پژوهش، نخست پیمایش‌هایی جهت شناسایی انواع تشکیلات سنگی و روابط صحرابی در منطقه رحمت‌آباد انجام شد. بر این اساس، تعداد ۴۰ نمونه سنگی از سنگ‌های آتشفشاری و واحدهای آذرآواری، کائولن و نمونه‌های سیلیسی شده از منطقه برداشت گردید. بررسی‌های سنگ‌نگاری تعداد ۲۵ نمونه از سنگ‌های آتشفشاری و واحدهای آذرآواری با تهیه و مطالعه مقاطع نازک و صیقلی به ترتیب با میکروسکوپ‌های قطبشی عبوری الیمپوس مدل 2-BH و قطبشی بازتابی BX-60 انجام شد. ترکیب کانی‌شناسی ۲ نمونه از کائولن‌ها با استفاده از دستگاه پراش پرتو X (XRD) (مدل D4) با پرتو CuK α ، فامسازهای گرافیتی، ولتاژ ۴۰ کیلو ولت، جریان ۴۰ میلی‌آمپر، آهنگ روش ۲ درجه بر دقیقه و گستره زاویه‌ای ۲۷۴,۱ درجه در آزمایشگاه تجزیه مواد معدنی دانشگاه اصفهان تعیین شد. بررسی‌های تکمیلی کانی‌شناسی کائولن‌ها با میکروسکوپی الکترونی روشی-طیفسنجی انرژی پاشنده پرتو

جدول ۱ دمای تشکیل کلریت در محدوده کائولن رحمت‌آباد [۱۰, ۱۱].

Element	Spot 1	Spot 2	Spot 3	Spot 4	Spot 5
Al ^{IV} _C	۱,۱۳۹	۱,۰۸	۱,۲۸۹	۰,۵۶	۱,۲۵۱
Fe(Fe+Mg)	۰,۴۶	۰,۴۶	۰,۴۶	۰,۴۵	۰,۴۸
T(C ₁)	۲۵۰,۶۴	۲۲۸,۳	۲۸۲,۶۳	۱۱۵,۸۳	۲۷۴,۱
T(C ₂)	۲۹,۰	۲۷۱,۳۳	۳۲۸,۳	۸۶,۵۱	۳۲۵,۴۲
T(C ₃)	۲۹۴,۳۴	۲۷۸,۵۲	۳۴۲,۱۹	۹۲,۴۱	۳۳۰,۰۷
Average	۲۷۸,۳۳	۲۶۱,۷۲	۳۲۱,۰۴	۹۸,۲۵	۳۰۹,۸۶

جدول ۲ ترکیب اکسیدهای اصلی سنگ‌های آتشفشاری محدوده کائولن رحمت‌آباد.

oxides	Detection limit	۱	۲	۳	۴	۵	۶	۷	۸	۹	۱۰	۱۱
SiO ₂	۰,۰۱	۸۰,۹۰	۷۶,۱۲	۷۷,۱۲	۵۷,۹۵	۵۴,۰۵	۵۵,۴۵	۵۷,۲۰	۶۳,۳۵	۶۱,۴۲	۵۸,۳۵	۸۳,۹۵
TiO ₂	۰,۰۱	۰,۱۶	۰,۲۵	۰,۲۵	۰,۲۳	۱,۱۲	۰,۷۵	۰,۷۲	۰,۷۲	۰,۷۰	۰,۷۵	۰,۱۱
Al ₂ O ₃	۰,۰۴	۶,۲۰	۸,۹۰	۸,۷۹	۱۷,۰۵	۱۷,۰۸	۱۶,۰۵	۱۳,۵۵	۱۳,۵۵	۱۶,۹۵	۱۵,۱۲	۶,۱۲
Fe ₂ O ₃	۰,۰۱	۱,۶۸	۱,۸۱	۱,۷۸	۱,۸۱	۲,۴۵	۲,۳۵	۲,۲۹	۲,۲۹	۲,۲۹	۲,۲۹	۱,۶۵
FeO	۰,۰۱	۰,۳۰	۱,۰۳	۱,۰۵	۵,۰۸	۶,۲۳	۵,۷۵	۳,۱۱	۳,۱۱	۳,۱۱	۵,۹۵	۰,۰۵
MnO	۰,۰۱	۰,۰۲	۰,۰۵	۰,۰۵	۰,۱۷	۰,۱۴	۰,۲۵	۰,۲۵	۰,۲۵	۰,۲۵	۰,۱۸	۰,۰۸
MgO	۰,۰۱	۰,۱۴	۰,۴۹	۰,۳۹	۷,۹۵	۶,۲۵	۶,۸۰	۲,۱۸	۲,۱۸	۲,۱۸	۳,۸۵	۰,۴۱
CaO	۰,۰۱	۰,۴۸	۲,۰۶	۲,۴۳	۷,۹۰	۸,۴۴	۹,۳۵	۲,۹۵	۲,۹۵	۲,۹۵	۸,۷۱	۰,۴۵
Na ₂ O	۰,۰۱	۴,۴۲	۲,۶۳	۴,۸۱	۲,۳۳	۲,۶۵	۱,۷۵	۵,۵۸	۵,۵۷	۵,۵۸	۲,۵۸	۴,۲۲
K ₂ O	۰,۰۱	۴,۶۸	۳,۰۲	۳,۳۳	۰,۱۵	۱,۷۵	۰,۸۸	۵,۸۵	۵,۸۵	۵,۸۵	۰,۱۷	۱,۶۳
P ₂ O ₅	۰,۰۱	۰,۰۶	۰,۱۱	۰,۱۰	۰,۲۵	۰,۵۷	۰,۲۵	۰,۳۰	۰,۳۰	۰,۳۰	۰,۱۵	۰,۰۵
Sum	۹۹,۰۷	۹۷,۴۷	۱۰۰,۱	۱۰۰,۸۷	۱۰۰,۷۳	۹۹,۶۳	۹۳,۹۸	۱۰۰,۱۲	۱۰۱,۵۸	۹۸,۲۰	۹۸,۷۲	

جدول ۳ مقدار عناصر اصلی، فرعی، جزئی، خاکی نادر و LOI در نمونه‌های مورد بررسی به همراه محدوده آشکارسازی عناصر و مقدار بی‌هنجری-های Eu و Ce. (نمونه‌های با کد K: کائولن و با کد Si: سیلیس).

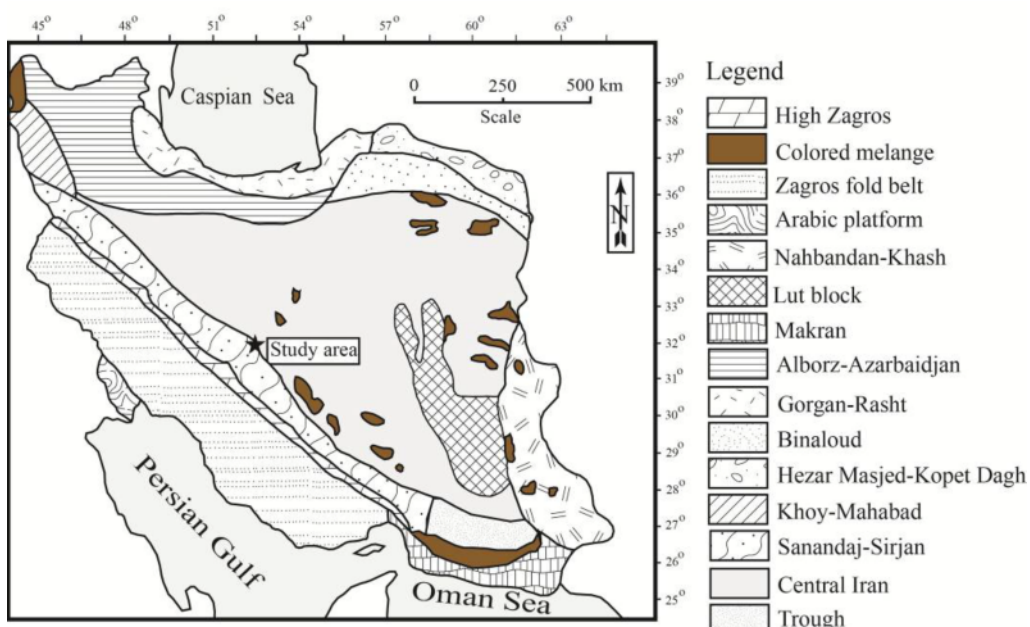
Sample No	Detection	K-1	K2	K-3	K-4	K-5	K-6	K-7	K-8	K-9	Si
SiO₂ (wt%)	-/0.1	65.16	65.95	67.12	68.99	68.85	-	-	-	-	-
TiO₂	-/0.1	0.43	0.33	0.28	0.55	0.36	-	-	-	-	-
Al₂O₃	-/0.4	16.91	17.14	15.88	15.54	13.88	-	-	-	-	-
Fe₂O₃	-/0.1	1.45	1.32	1.15	1.38	1.84	-	-	-	-	-
FeO	-/0.1	2.18	2.22	1.98	2.02	2.08	-	-	-	-	-
MnO	-/0.1	0.107	0.104	0.109	0.107	0.103	-	-	-	-	-
MgO	-/0.1	2.28	1.75	1.58	1.55	1.95	-	-	-	-	-
CaO	-/0.1	4.55	4.85	3.85	3.25	4.25	-	-	-	-	-
Na₂O	-/0.1	3.82	3.67	4.95	3.33	3.68	-	-	-	-	-
K₂O	-/0.1	1.98	2.10	2.18	1.85	2.19	-	-	-	-	-
P₂O₅	-/0.1	0.22	0.18	0.15	0.10	0.15	-	-	-	-	-
Sum	-	99.05	99.85	99.51	98.93	100.06	-	-	-	-	-
Cr (ppm)	-/0.02	10.00	12.00	11.00	9.00	10.00	-	-	-	-	-
Ni	-/1	13.00	14.00	9.00	12.00	15.00	-	-	-	-	-
Rb	-/1	73.00	54.00	70.00	105.00	98.00	-	-	-	-	-
Cs	-/1	1.50	1.30	1.20	1.40	2.10	-	-	-	-	-
Ba	1	650.00	605.00	632.00	750.00	695.00	-	-	-	-	-
Sr	0.5	312.00	335.00	320.00	199.00	270.00	-	-	-	-	-
Nb	-/1	6.35	6.95	7.98	8.12	9.70	-	-	-	-	-
Hf	-/1	3.00	2.50	4.00	1.80	2.65	-	-	-	-	-
Zr	-/1	45.00	55.00	88.00	65.00	77.00	-	-	-	-	-
Y	-/1	11.00	13.22	14.28	9.50	10.45	-	-	-	-	-
Th	-/2	7.45	6.75	9.27	12.10	10.00	-	-	-	-	-
U	-/1	1.80	1.40	2.90	2.30	3.00	-	-	-	-	-
La (ppm)	-/1	15.00	13.00	14.00	22.00	18.00	41.61	42.90	27.80	22.15	13.76
Ce	-/1	42.00	35.00	25.00	28.00	38.00	72.87	71.70	48.23	42.94	22.11
Pr	-/0.2	5.45	2.39	6.20	4.12	4.25	7.99	7.87	5.29	4.87	3.21
Nd	-/0.3	13.30	8.50	10.15	12.00	16.00	28.77	26.21	19.05	18.38	7.20
Sm	-/0.5	3.85	2.15	2.87	2.16	3.14	4.81	3.70	3.39	3.47	1.13
Eu	-/0.2	0.91	0.88	0.95	1.10	0.94	1.44	0.86	0.99	1.04	0.20
Gd	-/0.5	2.17	1.44	2.18	2.45	1.35	3.49	1.80	2.84	3.52	0.70
Tb	-/0.1	0.44	0.35	0.32	0.31	0.40	2.48	0.19	0.39	0.89	0.31
Dy	-/0.5	2.11	2.81	1.98	1.80	2.14	0.48	0.80	2.16	5.30	0.94
Ho	-/0.2	0.13	0.50	0.80	0.20	0.40	0.44	0.14	0.42	1.19	0.22
Er	-/0.3	0.55	0.42	1.15	0.98	1.66	1.10	0.45	1.10	3.35	0.49
Tm	-/0.1	0.23	0.20	0.18	0.14	0.33	0.15	0.08	0.16	0.46	0.06
Yb	-/0.5	1.50	1.20	1.80	1.40	1.80	0.89	0.62	1.02	2.72	0.45
Lu	-/0.1	0.15	0.12	0.23	0.14	0.19	0.14	0.12	0.16	0.88	0.06
Eu/Eu*	-	0.98	1.26	1.15	1.45	1.39	1.07	1.01	1.00	0.90	0.66
Ce/Ce*	-	1.33	1.34	0.88	0.60	1.00	0.88	0.84	0.86	0.90	0.83
(La/Lu)_N	-	10.21	11.06	6.22	18.05	9.67	30.35	36.51	17.74	2.67	22.42

بحث و بررسی زمین‌شناسی

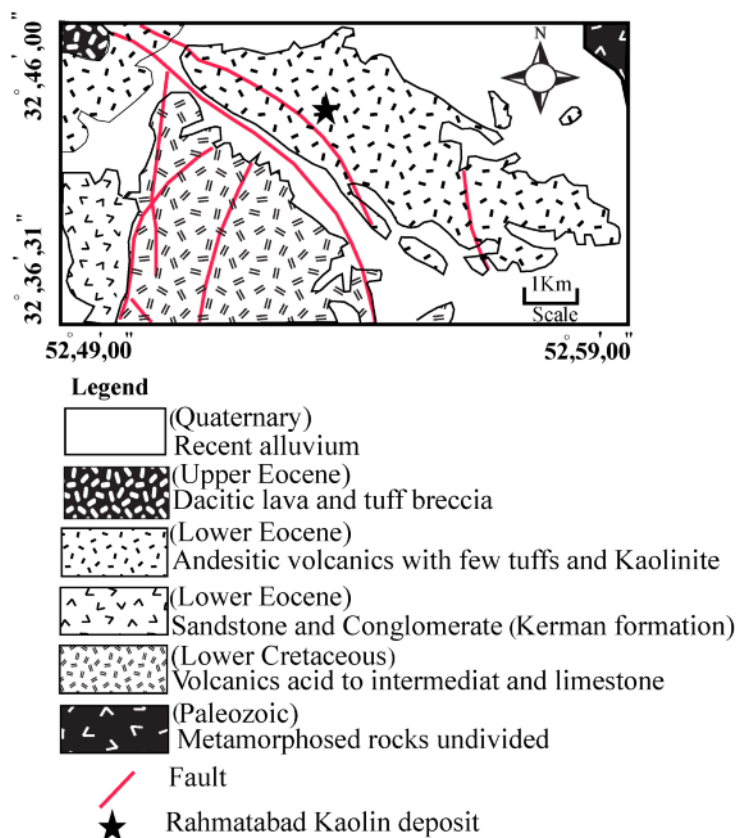
منطقه رحمت‌آباد، به مختصات جغرافیایی "۵۲°، ۴۹'، ۰۰" تا "۵۲°، ۵۹'، ۰۰" طول شرقی و "۳۲°، ۳۶'، ۳۱" تا "۳۲°، ۴۶'، ۰۰" عرض شمالی، در فاصله ۲۵ کیلومتری جنوب غربی شهرستان نایین در استان اصفهان واقع است. این منطقه بر اساس تقسیم‌بندی واحدهای زمین‌ساختی و ساختمانی ایران [۵]، بخشی از پهنه سنندج- سیرجان را شامل می‌شود (شکل ۱). همچنین از دیدگاه زمین‌ساختی، محدوده کائولون رحمت‌آباد در شرق سامانه گسلی بزرگ قم - زفره واقع شده است. به طور کلی می‌توان گفت که عملکرد گسل‌ها در این منطقه، منجر به شکستگی‌های فراوان، پهنه‌های برشی و انواع دگرسانی‌های گرمابی (سریسیتی شدن، سیلیسیتی شدن، کلریتی شدن و رسی شدن) و در پی آن تشکیل یک ذخیره کائولینیتی شده است.

بارزترین واحدهای سنگی موجود در منطقه مورد بررسی به ترتیب از قدیم به جدید شامل سنگ‌های دگرگونی (پالئوزوئیک)، سنگ‌های آتشفسانی اسیدی تا حد واسط و آهک (کرتاسه پیشین)، ماسه‌سنگ و کنگلومرای سازند کرمان (ائوسن پیشین)، سنگ‌های آتشفسانی آندزیتی، توف و کائولینیت (ائوسن پیشین)، گدازه‌های داسیتی و برش‌های توفی (ائوسن پسین) و در نهایت آبرفت‌های کواترنری هستند [۶] (شکل ۲).

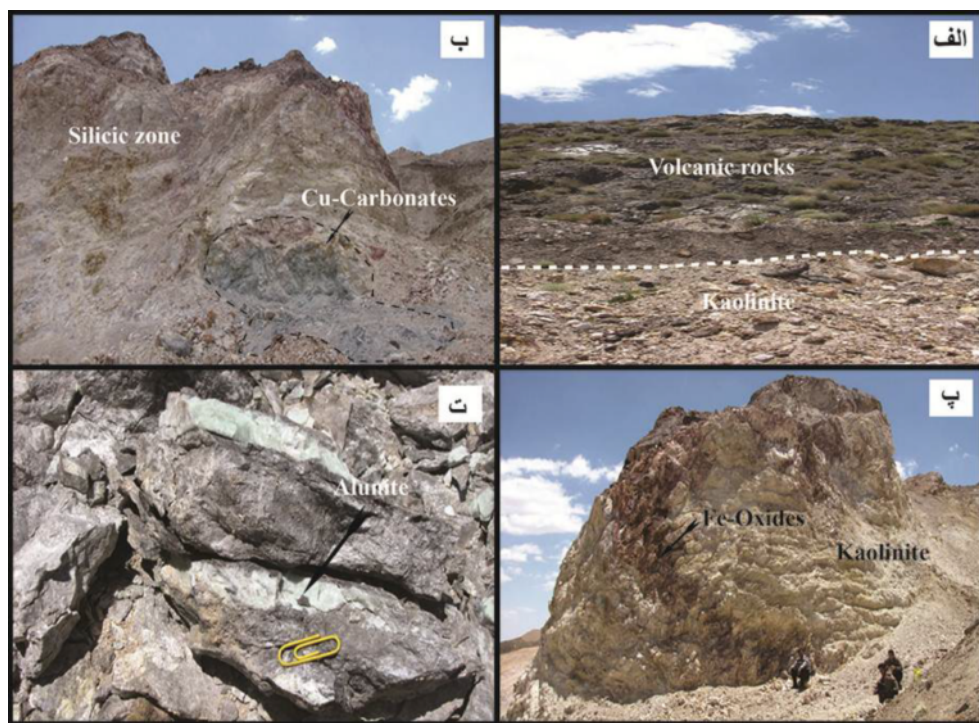
بررسی‌های زمین‌شناسی نشان می‌دهند که ذخیره معدنی رحمت‌آباد دارای مرز گسلی با سنگ‌های آتشفسانی و سنگ-



شکل ۱ نقشه زمین‌شناسی منطقه ساختاری ایران [۵] که بر اساس آن منطقه رحمت‌آباد (علامت ستاره) در پهنه سنندج- سیرجان قرار دارد.



شکل ۲ نقشه زمین‌شناسی منطقه مورد بررسی، برگرفته از مرجع [۶] با اندکی تغییرات.



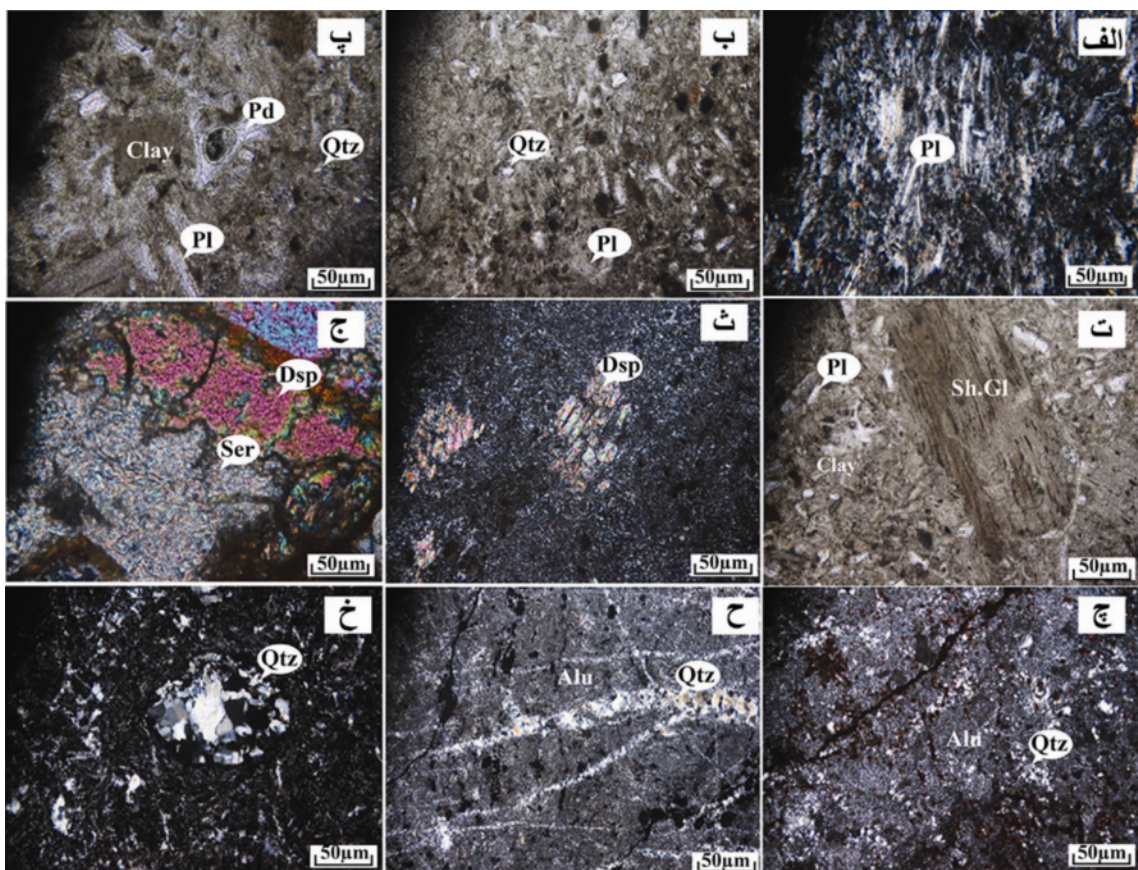
شکل ۳ (الف) مرز گسلی کائولینیت و سنگ‌های آتششانی ناحیه مورد بررسی، (ب) منطقه سیلیسی به همراه کانی‌سازی مالاکیت و آزوریت در قاعده، (پ) رگچه‌های اکسید آهن و ژاروسيت به همراه کائولینیت و (ت) رگچه‌هایی از آلونیت‌های سیز-آبی درون سنگ‌های دگرسان شده.

سنگ‌های آذرآواری موجود در ناحیه مورد بررسی بیشتر از خردۀای کوارتز، فلدسپار، خردۀای پامیس (Pumis debris) و شیشه آتشفسانی (glass shard) تشکیل شده‌اند و ترکیبی در حد توف شیشه‌ای-بلورین دارند (شکل‌های ۴ ب، پ و ت). در مقاطع مورد بررسی پامیس‌ها اغلب توسط ساختار حفره‌ای خود قابل شناسایی هستند (شکل ۴ پ). آنها ضمن حفظ بافت حفره‌ای خود در بخش‌های شیشه‌ای به‌طور گسترده توسط کانی‌های رسی جانشین شده‌اند. حفره‌های موجود در پامیس‌ها بیشتر کروی هستند و در تعدادی از نمونه‌ها به صورت بیضوی دیده می‌شوند.

سنگ‌نگاری و کانی‌شناسی سنگ‌های آتشفسانی، آذرآواری و کائولن‌ها

با توجه به مقاطع میکروسکوپیکی می‌توان گفت که سنگ‌های آتشفسانی مورد بررسی، متشكل از بلورهای پلازیوکلاز، کوارتز، کوارتز و کانی‌های کدر هستند که در زمینه‌ای از ریزسنگ‌های پلازیوکلاز دارای بافت جریانی (fluidal) به همراه مقدار اندکی شیشه قرار دارند (شکل ۴ الف). با توجه به بررسی‌های انجام شده ریزسنگ‌های پلازیوکلاز و شیشه به‌طور گسترده توسط کانی‌های رسی جانشین شده‌اند.

بررسی مقاطع میکروسکوپیکی همچنین نشان می‌دهد که

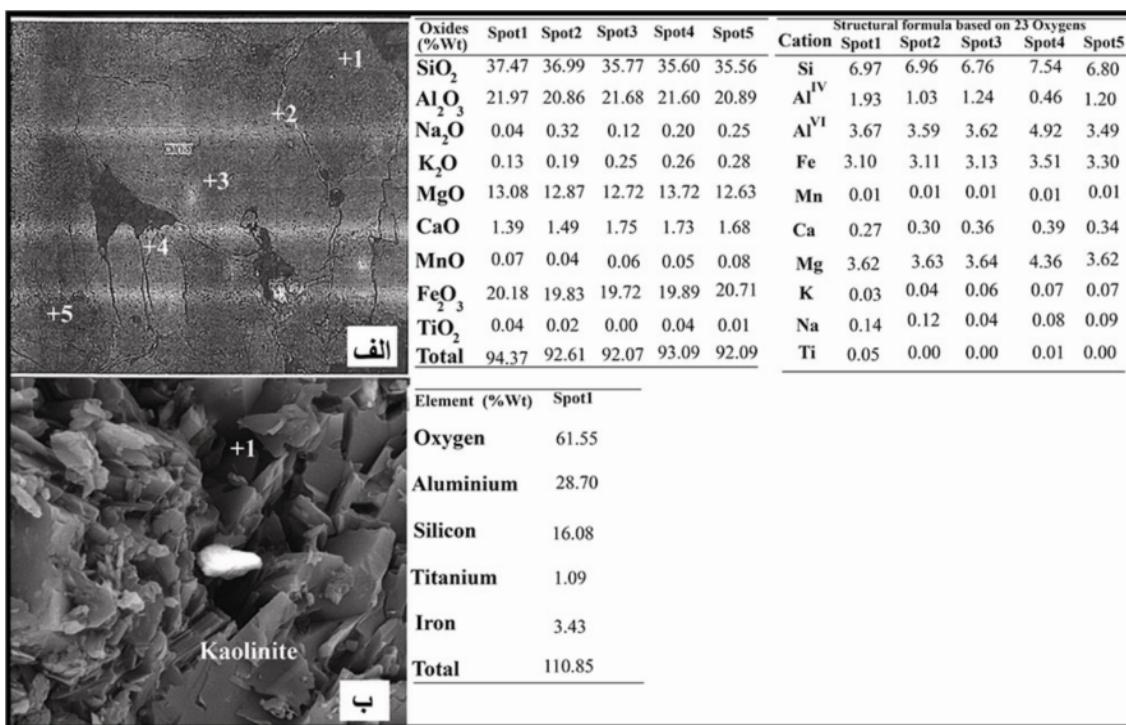


شکل ۴ (الف) درشت‌بلورهای پلازیوکلاز و کوارتز در زمینه‌ای از ریزسنگ و شیشه‌ای آتشفسانی با بافت جریانی (XPL)، (ب) توف شیشه‌ای بلورین متشكل از خردۀای کوارتز، فلدسپار، خردۀای پامیس و شیشه آتشفسانی (PPL) (glass shard)، (پ) کوارتز نیمه شکل دار به همراه خردۀای پامیس، شیشه آتشفسانی و پلازیوکلاز، پلازیوکلازها و خردۀای پامیس ضمن حفظ حفره‌ای کروی خود به طور گسترده به کانی‌های رسی تبدیل شده‌اند (PPL)، (ت) شیشه آتشفسانی به شکل خنجری که به طور گسترده توسط کانی‌های رسی جانشین شده است (PPL)، (ث) فنوبلاست دیاسپور جانشین شده به جای درشت‌بلور پلازیوکلاز (XPL)، (ج) جانشینی دیاسپور به جای سرسیت (XPL)، (خ) کوارترهای خوش‌های در زمینه آلونیت، (ح) کوارترهای داربستی در زمینه آلونیت ریز دانه و (خ) کوارترهای پرکننده حفره‌ای موجود در سنگ‌های آتشفسانی. علائم اختصاری بکار رفته عبارتند از: Dbs=دیاسپور، Ser=سرسیت، Pl=پلامیس، Qtz=کوارتز، Pd=خرده پامیس، Sh.Gl=شیشه آتشفسانی. (که برگرفته از مرجع [۷] هستند).

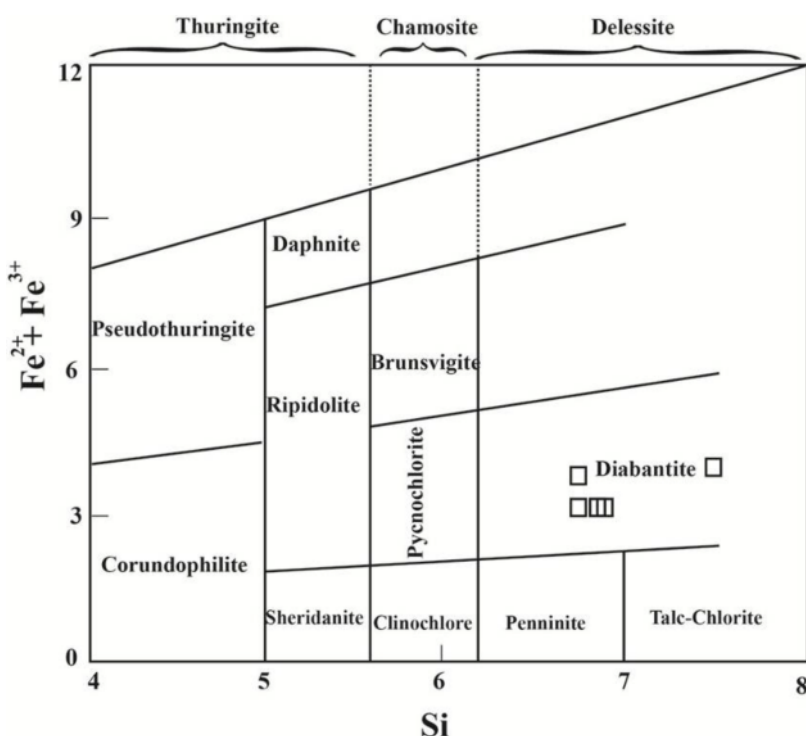
می‌توان در زمینه‌ی آلونیت مشاهده کرد (شکل ۴ ج). به طور کلی در مقاطع مورد بررسی، کانی کوارتز نیز به سه شکل خوش‌های به طور پراکنده در متن آلونیت‌ها (شکل ۴ ج)، رگه‌ای (شکل ۴ ح) و پرکننده حفره‌ها (شکل ۴ خ) با بافت بادامکی دیده می‌شود.

نیز تصویر BES از کلریت‌های حاصل از فرآیندهای دگرسانی نیز به همراه ترکیب اکسیدهای اصلی تعیین شده به روش EPMA در پنج نقطه و تصویری از کائولینیت‌های کتابی تهیه شده توسط میکروسکوپ الکترونی روبشی به همراه ترکیب عناصر اصلی تعیین شده به روش EDS در یک نقطه در شکل ۵ ارائه شده است. در این راستا فرمول ساختاری کلریت بر پایه ۲۸ اکسیژن محاسبه و نتایج آن ارائه شده است (شکل ۵ الف). کلریت‌های مورد بررسی در نمودار دو متغیره $\text{Fe}^{2+} + \text{Fe}^{3+}$ در گستره دیابانتیت قرار می‌گیرند [۸] (شکل ۶). نسبت به Si در گستره دیابانتیت قرار می‌گیرند [۱۰، ۹]. همچنین بر پایه فرمول‌های ارایه شده در مراجع [۱۰، ۹]، دمای تشکیل کلریت‌های حاصل از فرآیندهای دگرسانی در ناحیه مورد بررسی از ۹۸/۲۵ تا ۳۲۱/۰ درجه سانتی گراد تعیین شده است (جدول ۱).

این امر نیز می‌تواند ناشی از فشار لایه‌های بالایی و یا تأثیر فرایندهای زمین‌ساختی در منطقه باشد. آذرآوارهای شیشه‌ای نیز به اشکال مختلف مانند خنجری، جناغی و سایر اشکال هندسی دیده می‌شوند که ضمن حفظ قالب خود، به طور کامل یا جزئی توسط کانی‌های رسی جانشین شده‌اند (شکل ۴ ت). همچنین می‌توان گفت که طی دگرسانی، بافت اولیه توفها به طور کلی از بین رفته‌اند. تنها در موارد معده‌ودی می‌توان آثاری از لایه‌بندی اولیه سنگ مادر به صورت بافت شبیه (gosht) texture را مشاهده نمود. در بسیاری از مقاطع مورد بررسی از سنگ‌های دگرسان شده، کانی دیاسپور با بر جستگی بالا و به صورت کاملاً بی‌شکل دیده می‌شود. در برخی دیگر از مقاطع، فنوبلاست‌هایی از دیاسپور جانشین درشت‌بلورهایی از فلدسپارهای اولیه شده‌اند (شکل ۴ ث). همچنین در برخی از قسمت‌ها، دیاسپور به همراه سرسیت با مرز عدم تعادلی و خردشیدگی (resorbed margins) همراه است (شکل ۴ ج). آلونیت‌ها نیز به صورت بسیار دانه ریز بوده و با بافت انتشاری (pervasive) در مقاطع مورد بررسی دیده می‌شوند. در برخی از موارد، بازماندهای از بافت پوروفیری سنگ‌های آتش‌شانی را



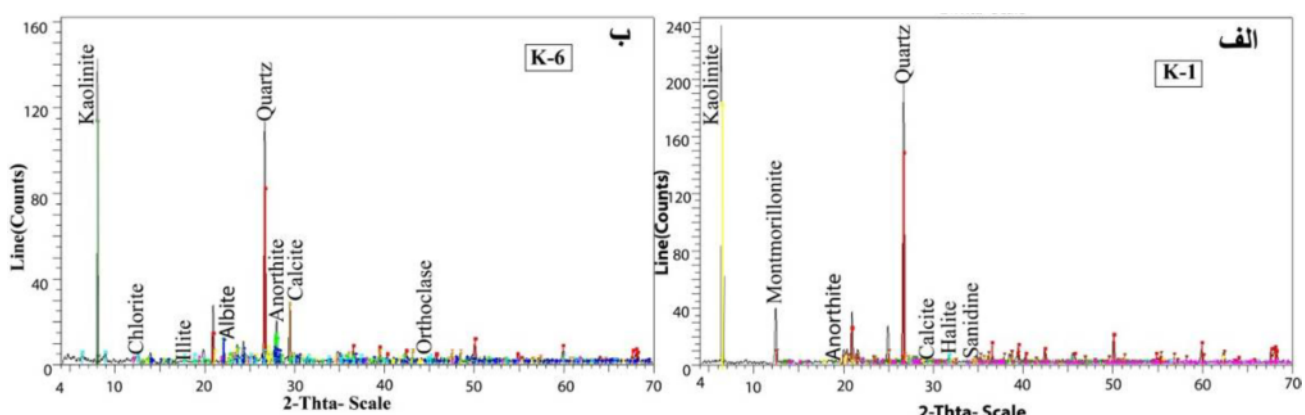
شکل ۵ (الف) تصویر BSE از کلریت‌های حاصل از فرایند دگرسانی به همراه نتایج EPMA از برخی اکسیدهای اصلی در پنج نقطه از این کانی و (ب) تصویر میکروسکوپ الکترونی روبشی از کائولینیت‌های کتابی به همراه نتایج SEM-EDS در یک نقطه.



شکل ۶ نمودار $\text{Fe}^{2+} + \text{Fe}^{3+}$ نسبت به Si و محدوده کلریت‌های مورد بررسی [۸].

اصلی حضور دارند. کانی‌های چون ایلیت، مونتموریلونیت، آلبیت، اورتوکلاز، هالیت، سانیدین، کلریت، سرسیت، مالاکیت و آزوریت در مقادیر فرعی، فازهای کانیایی اصلی را همراهی می‌نمایند (جدول ۴).

نتایج تحلیل داده‌های پراش پرتو X (XRD) در شکل ۷ آورده شده است. می‌توان گفت که در ذخیره کائولن رحمت‌آباد، کانی‌های کائولینیت، کوارتز، آنورتیت، آلونیت، دیاسپور، کلسیت، ژاروسیت، هماتیت و گوتیت به صورت فازهای کانیایی



شکل ۷ الگوهای پراش پرتو ایکس (XRD) دو نمونه کائولن مورد بررسی: (الف) نمونه K-1 و (ب) نمونه K-6.

جدول ۴ فازهای کانیایی اصلی و فرعی موجود در نهشته کائولن رحمت‌آباد.

کانی‌های اصلی	کائولینیت، کوارتز، آنورتیت، آلونیت، دیاسپور و کلسیت، ژاروسیت، هماتیت و گوتیت
کانی‌های فرعی	ایلیت، مونتموریلونیت، آلبیت، اورتوکلاز، هالیت، سانیدین، کلریت، سرسیت، مالاکیت و آزوریت

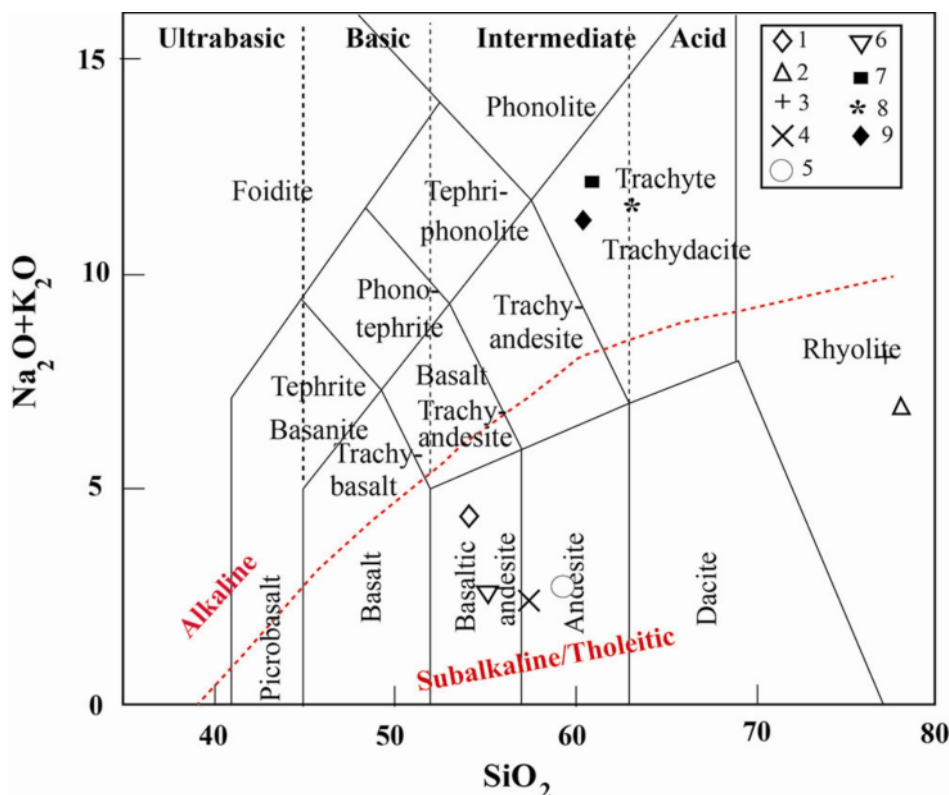
به طور بخشی توسط فازهای دارای SiO_2 و اکسیدهای ثانویه Cs و Mn جذب و در سیستم ثبت شود [۱۳]. همچنین Fe از جمله یون‌های بزرگی است که معمولاً در ساختار کانی‌ها جایگزین پتاسیم می‌شود. قابلیت جذب انتخابی Cs در ساختار مونتموریلوبونیت در ارتباط با طول محور c این کانی و بارکاتیون‌های هشت‌وجهی توسط ایلیاسون [۱۴] بررسی شده است. مونتموریلوبونیت‌ها به علت داشتن فضای بین لایه‌ای مناسب از پتانسیل خوبی برای جذب این عنصر طی تکوین Zr , Nb , Hf , Y و Th با غنی‌شدگی همراه هستند. همچنین عناصری چون Sr , Al , Cs , Rb , Mg , Mn , K , Fe , P و Na , Ti , Ca , REEs , Cr , K نیز به ترتیب به دلیل جانشینی Sr به جای Ca در شبکه کانی کلسیت و جذب سطحی توسط کانی ایلیت است [۱۵]. Rb نیز می‌تواند به جای K در شبکه کانی‌های رسی جانشین شود. افزایش نسبی Al در نمونه‌های کائولنی مربوط به کاهش حجم سیستم (به واسطه تبدیل شیشه‌های آتشفشنایی به کانی‌های رسی) است [۱۶].

ترکیب اولیه تجمعات رسی

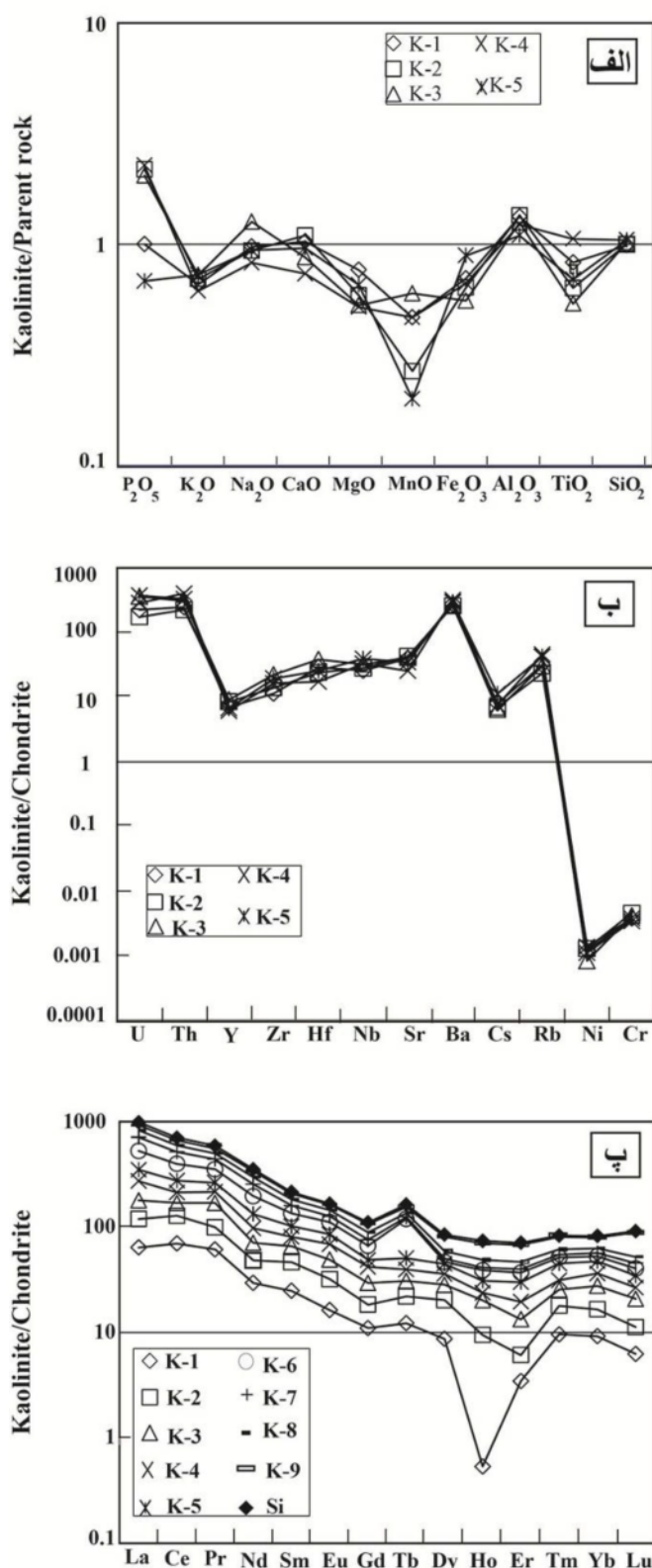
با رسم نمودار دو متغیره $\text{SiO}_2\text{-Na}_2\text{O+K}_2\text{O}$ [۱۱]، سنگ‌های آتشفشنایی میزبان کائولن‌ها، در محدوده تراکیت، تراکی آندزیت، آندزیت و بازالتیک آندزیت قرار می‌گیرند (شکل ۸). عوامل کنترل کننده رفتار عناصر طی فرآیند تبدیل سنگ‌های آتشفشنایی به کائولن

در این پژوهش از نسبت تمرکز عناصر در کائولن نسبت به سنگ مادر آتشفشنایی برای اکسیدهای اصلی و فرعی و نسبت به کندریت [۱۲] برای عناصر جزئی و خاکی نادر استفاده شد. بر اساس نتایج بدست آمده، فرآیند دگرسانی (تبدیل) سنگ‌های آتشفشنایی به کائولن در منطقه رحمت آباد با غنی‌شدگی تثبیت شیشه‌های Al , Th , Y , Zr , Hf , Nb , Sr , Ba , Cs , Rb , Mg , Mn , K , Fe , P و Na , Ti , Ca , REEs , Cr , K همراه بوده است. (شکل‌های ۹ الف، ب و پ).

عناصر غنی‌شده: شرایط محیطی اکسیدان طی تشکیل کائولن‌ها باعث شده است که U^{4+} نامحلول به U^{4+} محلول تبدیل شود. اورانیومی که در شرایط اکسیدان اتحلال می‌یابد می‌تواند



شکل ۸ نمودار $\text{Na}_2\text{O+K}_2\text{O-SiO}_2$ و جایگاه سنگ‌های آتشفشنایی منطقه به سن اوسن پیشین در آن [۱۱].



شکل ۹. الف) نمودار بهنجار شده برخی از اکسیدهای اصلی و فرعی در کائولینیت‌ها نسبت به سنگ مادر آتشفسانی، ب) نمودار بهنجار شده برخی از عناصر جزئی در کائولینیت‌ها نسبت به کندریت [۱۲] و پ) نمودار عنکبوتی عناصر خاکی نادر بهنجار شده انواع کائولن‌ها و نمونه سیلیسی نسبت به کندریت [۱۲].

عنصر در برش‌های توفی هستند، طی دگرسانی این جزء سنگ-ساز را به طور بخشی از دست داده‌اند [۱۳]. غنی شدگی Na_2O نیز می‌تواند در ارتباط با حضور کانی‌های هالیت و آلبیت باشد. غنی شدگی P_2O_5 در نمونه‌های کائولنی را می‌توان به حضور مقادیر ناچیز کانی‌های فسفاته در نهشته نامبرده مرتبط دانست. نتایج تغییرات جرم می‌تواند در تعیین فرایندهای تشکیل کائولن مفید باشند. در نیمرخ مورد بررسی، K تهی شده است. این در حالی است که Sr با غنی شدگی همراه بوده است. غنی شدگی Sr با سیالات گرمابی در ارتباط است که نمایانگر نقش فرایندهای درون‌زاد طی تکوین ذخیره کائولن مورد بررسی است. تهی شدگی عناصری همچون Fe و Ti طی کائولن‌زایی همراه با مقادیر بسیار $\text{Sr}+\text{Ba}$ و مقادیر Ce+Y+La می‌تواند نمایانگر خاستگاه درون‌زاد سیالات مسؤول دگرسانی باشد [۳]. از این جهت، کانسار کائولن رحمت آباد مشابه با کانسار کائولن بیگا پنیسولا (Biga Peninsula) در ترکیه [۲۱]، کائولن سوات (Swat) در پاکستان [۲۲] و آبگرم میانه [۳] در ایران است. با استفاده از نمودار دو متغیره $\text{Sr}+\text{Ba}$ -Ce+Y+La [۲۳]، مشخص می‌شود که سیالات مسؤول کائولن‌زایی در منطقه رحمت‌آباد توسط همپوشی فرآیند با درون‌زاد فرآیند بروون‌زاد حاصل شده‌اند (شکل ۱۰ الف). روش دیگر استفاده از مقادیر $\text{Ti} + \text{Fe}^-$ Cr+Nb است [۲۳]. مقدار بالای $\text{Ti}+\text{Fe}$ با محتوای درون‌زاد کائولن‌ها و مقدار بالای Cr+Nb با محتوای بروون‌زاد کائولن‌ها همخوانی دارد. با ترسیم نمونه‌ها در نمودار دو متغیره $\text{Ti}+\text{Fe}^-$ Cr+Nb می‌توان ادعا کرد که کائولن‌های مورد بررسی دارای خاستگاه درون‌زاد هستند (شکل ۱۰ ب). روش دیگر برای تعیین خاستگاه محلول‌های مسؤول کانی‌سازی استفاده از مقدار TiO_2 است. مقادیر TiO_2 به ترتیب کمتر و بیشتر از یک مربوط به کانسارهای کائولن با ماهیت درون‌زاد و بروون‌زاد است [۲۴]. با توجه به مقدار TiO_2 کمتر از یک در همه نمونه‌های کائولن مورد بررسی (جدول ۲) می‌توان نتیجه گرفت که تشکیل کائولن رحمت‌آباد در ارتباط با عملکرد محلول‌های درون‌زاد بر سنگ‌های آتشفسانی و آذرآواری در منطقه بوده است.

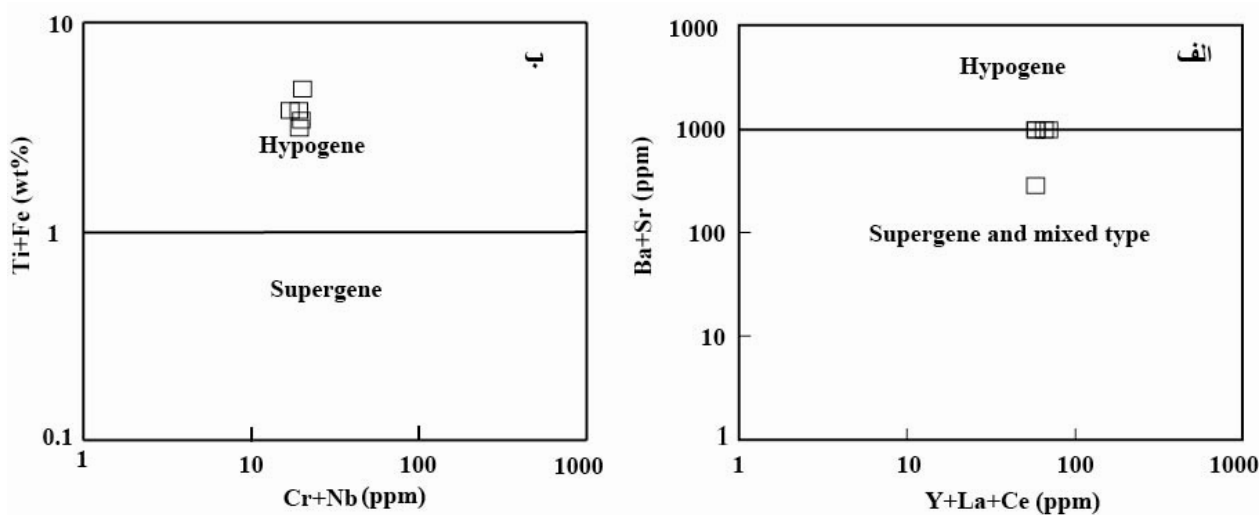
در این بررسی برای محاسبه میزان ناهنجاری Eu و Ce روابط زیر استفاده شد [۲۶، ۲۵]:

$$\text{Eu/Eu}^* = (\text{Eu}_{\text{N}})/(\sqrt{\text{Sm}_{\text{N}} \times \text{Gd}_{\text{N}}}) \quad (1)$$

$$\text{Ce/Ce}^* = (3\text{Ce}_{\text{N}})/(2\text{La}_{\text{N}} + \text{Nd}_{\text{N}}) \quad (2)$$

عناصر تهی شده: تهی شدگی آهن می‌تواند به علت تخریب کانی‌های آهن‌دار همچون پیریت و تهی شدگی Mg و Mn از سیستم می‌تواند در ارتباط با شکسته شدن کانی‌های فرومیزین چون الیوین و پیروکسن در سیستم واکنشی آب-سنگ رخ داده باشد. تهی شدگی K را می‌توان به دگرسانی فلدسپارها و ورودان به محلول‌های دگرسان کننده در سیستم‌های واکنشی آب-سنگ نسبت داد [۱۷]. Cr و Ni نیز می‌توانند طی دگرسانی از کانی‌های مافیک آزاد شده باشند و تهی شدگی نشان دهنند. بررسی‌های انجام شده نشان داده است که توزیع عناصری چون Cr و Ni در محیط‌های دگرسانی با تغییرات pH محيط در ارتباط است. تمرکز این عناصر در سیستم‌های دگرسانی با افزایش pH روند فزونی به خود می‌گیرد [۱۸]. بررسی‌های انجام شده نشان می‌دهد که pH می‌باشد. بررسی‌های پایین و بالا به ترتیب سبب تهی شدگی و غنی شدگی REE‌ها طی توسعه و تکامل سیستم‌های دگرسانی می‌شوند [۱۹]. با توجه به تهی شدگی REE‌ها می‌توان ادعا نمود که pH مهمترین عامل کنترل کننده توزیع لانتانیدها طی توسعه ذخیره مورد بررسی بوده است. با توجه به شباهت بسیار بین روند تهی شدگی لانتانیدها در نمونه‌های کائولنی و نمونه سیلیسی به نظر می‌رسد که پهنه سیلیسی حاضر در بالای ذخیره در اثر شستشوی سیلیس حاصل از دگرسانی فلدسپارها و ترسیب آن در بالای سیستم ایجاد شده است (شکل‌های ۹ الف و پ). در کل، به نظر می‌رسد که تغییرات شدید در میزان شستشو و غنی شدگی عناصر به ویژه عناصر اصلی و فرعی طی توسعه و تکامل ذخیره می‌تواند در ارتباط با اختلاف در شدت دگرسانی مواد خاستگاه و تفاوت در پایداری کانی‌های اولیه در برابر دگرسانی باشد.

عناصر تهی شده- غنی شده: تهی شدگی Si در برخی از نمونه‌های کائولنی بیانگر دگرسانی و تخریب فلدسپارها و دری یا آزاد شدن سیلیس به درون محلول‌های مسؤول دگرسانی و غنی شدگی آن در برخی از نمونه‌ها دلیلی بر حضور ریز رگچه‌های سیلیسی در نمونه‌های مورد بررسی است. تهی شدگی Ca در برخی از نمونه‌ها به علت حلایت بالای آن در محیط‌های دگرسانی و غنی شدگی آن ممکن است به دلیل قرارگیری آن در جایگاه‌های بین لایه‌ای رسها و یا به واسطه تشکیل کانی کلسیت و دولومیت رخ داده باشد [۲۰]. شستشوی ضعیف طی کائولن‌زایی را می‌توان این طور توجیه کرد که شیشه‌های آتشفسانی و پلازیوکلازها که حامل‌های مهم این



شکل ۱۰ موقعیت نمونه‌های کاثولن رحمت‌آباد در نمودار تفکیکی (الف) $\text{Cr}+\text{Nb}$ - $\text{Ce}+\text{Y}+\text{La}$ و (ب) $\text{Ti}+\text{Fe}$ نسبت به $\text{Cr}+\text{Nb}$ [۲۳].

کاثولنی شدن نتیجه فلوئیدهای دارای pH و تمرکز کم گونه‌های کربناته یا هیدروکسیل و هالوژن‌هاست [۲۱]. برداشت

- مهمنترین نتایج حاصل از بررسی کانی‌شناسی و زمین‌شیمی ذخیره کاثولن رحمت‌آباد (گردنۀ ملا احمد نایین) عبارتند از:
- ۱- تشکیل پوشش سیلیسی در بخش بالایی کانسار، برشی شدن موضعی و حضور کانی‌هایی همچون آلونیت نمایانگر فرآیندهای درون‌زاد هستند و حضور مالاکیت و آزویریت به شکل عدسی در قاعده‌ی منطقه سیلیسی، توسعه رگه/رگچه‌هایی از اکسید/هیدروکسیدهای آهن و ژاروسیت می‌توانند نمایانگر نقش فرآیندهای برون‌زاد طی تکوین ذخیره کاثولن رحمت‌آباد باشند.
 - ۲- تخریب کانی‌هایی همچون پلازیوکلاز، فلدسپار قلیایی و آمفیبولوها توسط فلوئیدهای گرمابی دمای بالا از عوامل عمدۀ توسعه بی‌هنجاری‌های منفی Eu است. تخریب اکسیدهای آهن توسط فلوئیدهای اسیدی-اکسیدی طی فرآیند بیرون‌زاد، از دلایل اصلی توسعه بی‌هنجاری‌های منفی Ce طی کاثولینی شدن رحمت‌آباد است.
 - ۳- نمونه‌های کلریتی حاصل از فرآیندهای دگرسانی در رحمت‌آباد ترکیبی در حد دیابانتیت دارند و دمایی بین ۹۸/۲۵ تا ۳۲۱/۰ درجه سانتی‌گراد تشکیل شده‌اند.

حرف N بهنجار شده نسبت به ترکیب کندریت [۱۲] را نشان می‌دهد. محاسبات انجام شده نشان می‌دهد که مقدار بی-هنجاری Eu و Ce در کاثولن‌ها به ترتیب از ۰/۴۵ تا ۰/۸۰ و ۰/۶۰ تا ۱/۳۴ متغیر است (جدول ۳). بررسی‌های انجام شده نشان داده است که شعاع یونی Eu^{2+} در حدود $1/25\text{\AA}$ بوده و تا حدی نزدیک به شعاع یونی Ca^{2+} و Sr^{2+} ($1/13\text{\AA}$) است. از این رو، Eu می‌تواند جانشین Ca و Sr در ساختار پلازیوکلاز شود [۲۷]. به نظر می‌رسد که طی دگرسانی پلازیوکلازها، این عنصر به همراه Ca طی مراحل اولیه کاثولن‌زایی از سنگ‌های آتشفسانی و آذرآواری خارج شده و بی‌هنجاری منفی در نمونه‌ها ایجاد شده است. به نظر می‌رسد که تغییرات بی-هنجاری سریم توسط تجزیه کانی‌های آهن و منگنز با فلوئیدهای اسیدی-اکسیدی کنترل شده است. با در نظر گرفتن مطالب بالا می‌توان چنین گفت که تغییرات بی-هنجاری‌های Eu و Ce به ترتیب توسط درجه دگرسانی فلدسپارها و تغییر درجه اکسایش محیط کنترل شده‌اند. افزون بر این، نسبت $(\text{La}/\text{Lu})_N$ در نمونه‌های رحمت‌آباد از ۲/۶۷ تا ۳۶/۵۱ تغییر می‌کند. به نظر می‌رسد که این تغییر با جذب زیاد Lu نسبت به La (کنترل شده توسط شعاع یونی) در شرایط اسیدی در ارتباط است [۲۸]. علاوه بر این، نسبت-های $(\text{La}/\text{Lu})_N$ بیشتر از ۱ نشان می‌دهد که فرآیندهای

Takab geothermal field, NW Iran", Arabian Journal of Geosciences 548 (2016)1-16.

[۵] نبی م ح، "دیباچه ای بر زمین‌شناسی ایران"، انتشارات سازمان زمین‌شناسی و اکتشافات معدنی کشور، (۱۳۵۵) ۱۰۵ ص.

[۶] امینی ب، امینی چهرق، " نقشه زمین‌شناسی ۱:۱۰۰۰۰۰ کجان" ، سازمان زمین‌شناسی و اکتشافات معدنی کشور، برگه شماره ۶۵۵۵ (۱۳۸۲).

[۷] Whitney D. L., Evans B. W., "Abbreviations for names of rock-forming minerals" , American Mineralogist 95 (2010) 185-187.

[۸] Foster M. D., "Interpretation of the composition and a classification of the chlorites: U.S.", Geological Survey Professional 414-A (1962) 33 pp.

[۹] Cathelineau M., "Cation site occupancy in chlorites and illites as a function of temperature" , Clay Minerals 23 (1988) 471–485.

[۱۰] Jowett E. C, "Fitting iron and magnesium in to the hydrothermal chlorite geothermo-meter" Geological Association of Canada/ Mineralogical Association of Canada/ Society of Economic Geology Joint Annual Meeting (1991).

[۱۱] Le Maitre R. w., "A classification of igneous rocks and glossary of terms" , Blackwell oxford (1989).

[۱۲] Sun s. s., McDonough W. F., "Chemical and isotopic systematics of oceanic basalts, implications for mantle composition and processes, In: Saunders A.D., and Norry M.J. eds. Magmatism in the ocean basins", Geological Society of London Special Publication 42 (1989) pp 313-345.

[۱۳] Zeilinski R. A., "The mobility of uranium and other elements during alteration of rhyolite ash to montmorillonite: a case study in the Troublesome formation, Colorado, U.S.A", Chemical Geology 35 (1982) 185-204.

[۱۴] Eliason J. R., "Montmorillonite exchange equilibria with strontium-sodium-cesium", American Mineralogists 51 (1966) 324-335.

[۱۵] Costa M. L., Araujo E. S., "Application of multi-element geochemistry in Au-phosphate-bearing lateritic crusts for identification of their parent rocks", Journal of Geochemical Exploration 57 (1996) 257- 272.

-۴ در نمونه‌های کائولن مورد بررسی در رحمت‌آباد، مقدار Ce + Y + La از ۹۶۵ ppm تا ۲۷۴ ppm و مقدار Sr+Ba از ۵۷/۵۰ ppm تا ۶۸/۰۰ ppm متغیر است که می‌تواند بیانگر این باشد که سیالات مسؤول کائولن‌زایی در منطقه رحمت‌آباد توسط همپوشی فرآیند درون‌زادن توسط فرآیند سوپرژن حاصل شده‌اند. همچنین در نمونه‌های کائولن مورد بررسی، مقدار Ti + Fe در گستره بین ۳/۴۱ تا ۵/۰۸ wt% و مقدار TiO_2 کمتر از یک است. می‌توان چنین نتیجه گرفت که تشکیل کائولن رحمت‌آباد در ارتباط با عملکرد محلول‌های درون‌زاد بر سنگ-های آتشفشنایی و آذرآواری در منطقه بوده است.

-۵ توزیع، تحرک و غنی‌شدنگی عناصر اصلی، فرعی، جزئی، و خاکی نادر طی توسعه ذخیره کائولن منطقه رحمت‌آباد تابعی از اختلاف در شدت دگرسانی مواد خاستگاه، شیمی محلول‌های دگرسان کننده، جذب سطحی، ترکیب ساختار بلوری، اختلاف درجه کمپلکس‌شدن با لیگندهای سولفاتی، کلریدی و فلوریدی و تفاوت پایداری کانی‌های اولیه است.

قدردانی

نگارندگان از حمایت‌های مالی معاونت پژوهشی و تحصیلات تکمیلی دانشگاه اصفهان برخوردار بوده‌اند، لذا شایسته است که نهایت سپاس و قدردانی خود را ابراز دارند. نگارندگان همچنین از نظرات و پیشنهادات ارزنده و سازنده داوران محترم مجله سپاس‌گزاری می‌نمایند.

مراجع

- [1] Yuan Y. e., Guanghai S. h. i., Mengchu Y., Yinuo W.u., Zhaochong Zh., Anjie H., Jiajing Zh., "Formation of a Hydrothermal Kaolinite Deposit from Rhyolitic Tuff in Jiangxi, China", Journal of Earth Science 25 (2014) 495–505.
- [2] Dico M. L., Ekosse G. E., "Characterisation of two kaolin facies from Ediki, Southwest Cameroon", Scientific Research and Essays (2013) 698-704.
- [3] Abedini A., Calagari A. A., "Geochemical characteristics of the Abgarm Kaolin deposit, NW Iran", Neues Jahrbuch für Geologie und Paläontologie, Abhandlungen 278 (2015) 335-350.
- [4] Abedini A., Calagari A. A., "Geochemical characteristics of the Arabshah kaolin deposit,

- [22] Siddiqui M.A., Ahmed Z., "Geochemistry of the Kaolin deposits of Swat (Pakistan) ", *Chemie der Erde*, 68 (2008) 207-219.
- [23] Dill H.G., Bosse H. R., Kassbohm J., "Mineralogical and chemical studies of volcanic-related argillaceous industrial minerals of central American Cordillera (Western El Salvador)", *Economic Geology* 95 (2000) 517-538.
- [24] Maiza P. J., Pieroni D., Marfil S. A., "Geochemistry of hydrothermal kaolins in the SE area of Los Menucos, Province of Rio Negro, Argentina", In: Dominguez, E.A., Mas, G.R., Cravero, F. (Eds.), 2001, A Clay Odyssey Elsevier, Amsterdam (2003) 123-130.
- [25] Ma J., Wei G., Xu Y., Long W., Sun W., "Mobilization and re-distribution of major and trace elements during extreme weathering of basalt in Hainan Island, South China", *Geochimica et Cosmochimica Acta* 71 (2007) 3223-3237.
- [26] Rollinson H., "Using geochemical data: evaluation, presentation, interpretation", 1993, 352p.
- [27] Laufer F., Yariv S., Steinberg M., "The adsorption of quadrivalent Cerium by Kaolinite", *Clay Minerals* 19 (1984) 137-149.
- [28] Fulignatei P., Gioncada A., Sbrana A., "Rare earth element (REE) behavior in alteration facies of the active magmatic-hydrothermal system of Volcano(Aeolian Islands, Italy)", *Journal of Volcanology and Geothermal Research* 88 (2000) 325-342.
- [16] Altaner S. P., Grim R. E., "Mineralogy, chemistry and diagenesis of tuffs in the Sucker Creek Formation, Eastern Oregon", *Clays and Clay Minerals* 38 (1990) 561-572.
- [17] Munch P., Duplay, J., Cocheme J. J., "Alteration of silicic vitric tuffs interbedded in volcanoclastic depositories of the Southern Basin and Range Province, Mexico: Evidences for hydrothermal reaction", *Clays and Clay Minerals* 44 (1996) 49-67.
- [18] Arslan M., Kadir S., Abdioglu E., Kolayli H., "Origin and formation of kaolin minerals in saprolite of Tertiary alkaline volcanic rocks, Eastern Pontides, NE Turkey", *Clay Minerals* 41 (2006) 597-617.
- [19] Patino L. C., Velbel M. A., Price J. R., Wade, J. A., "Trace element mobility during spheroidal weathering of basalts and andesites in Hawaii and Guatemala", *Chemical Geology* 202 (2003) 343-364.
- [20] Christidis G. E., "Comparative study of the mobility of major and trace elements during alteration of an andesite and a rhyolite to bentonite in the islands of Milos and Kimolos, Aegean, Greece", *Clays and Clay Minerals* 46 (1988) 379-399.
- [21] Kadir s., Erkoyun H., "Genesis of the hydrothermal Karacayir Kaolin deposit in Miocene volcanics and Palaeozoic metamorphic rocks of the Uska-Gure Basin, western Turkey", *Turkish Journal of Earth Sciences* 22 (2013) 444-468.